

〈冶金译丛〉

物理冶金

冶金译丛编译委员会

上海市科学技术编译馆

冶金译丛
物 理 治 金

冶金译丛编译委员会

*
上海市科学技术编译馆出版
(上海南昌路59号)

新华书店上海发行所发行 各地新华书店经售
商务印书馆上海厂印刷

*
开本 787×1092 1/16 印张 7 4/16 字数 230,000
1964年9月第1版 1964年9月第1次印刷
印数 1—5,000

编 号：62·217
定 价：0.95 元

目 录

1. 鋼的強化.....	1
2. 關於強化金屬的特點	15
3. 論鐵的屈服和流變機理	28
4. 高強度鋼的發展	40
5. 高強度鋁合金	55
6. 近代鉻的進展	66
7. 超高強度的鎂及鍍合金	73
8. 鐵素體-珠光體耐熱鋼的長期脆性.....	79
9. 耐熱合金的基礎和發展	88
10. 論鑄態鉛在 $4.2 \sim 700^{\circ}\text{K}$ 溫度範圍內的塑性和脆性(I)	94
11. 在 $4.2 \sim 700^{\circ}\text{K}$ 溫度範圍內經拉伸形變後的鉛的金相研究(II)	98
12. 經區域提純的鉛在 $4.2 \sim 373^{\circ}\text{K}$ 溫度範圍內的拉伸性能	103
13. 硅-鐵立方織構的發展	110

本輯由上海交通大學金相教研組編

24-551 / ④

1. 鋼 的 強 化*

The Strengthening of Steel

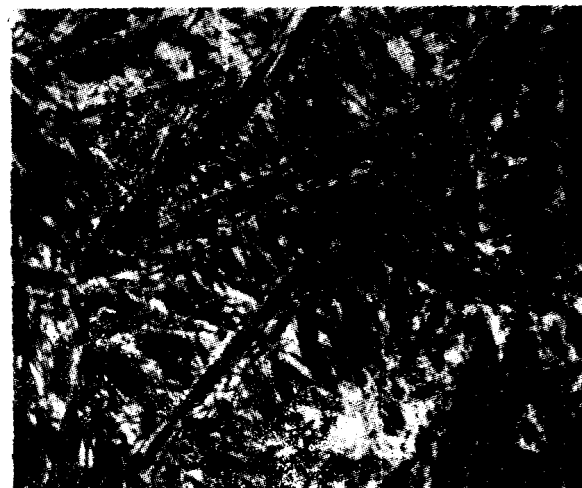
Morris Cohen

一、馬氏体的形成

我將不贅述目前有關馬氏體相變（使鋼淬火強化）的晶体學、熱力学和動力學方面的基本觀點。關於這一方面的問題，已有詳細全面的評述^[12,13]。但是，我們仍須憶及這種固態反應的一些特點。馬氏體相變要求原子在相變時是無擴散的或不互混的，相變的產物承襲了母相的化學成份，每個原子都傾向於保持其原有的近鄰關係，同時，這種反應也是切變或切變式的，即使每個原子只相對其近鄰稍微移動了一點距離，但由於切變時原子協調運動的結果，相變區域內組織形態發生了本質上的變化**。這種無擴散或切變*的性質表徵了馬氏體相變的特點，相變的產物就稱為馬氏體。所以，馬氏體是依據其形成條件而不是根據其組織或性質來定義的。馬氏體相變的切變性質已為在預先拋光表面上的表面浮凸所證明，即如圖2所示（對Fe-Ni-C合金）。經拋光和浸蝕後，則在金相照片上清楚地顯示出馬氏體片的各種大小的分布狀態（這是因為相變過程中，馬氏體逐步分割母相的緣故）。

通常，馬氏體並不一定是硬的和強度高的，這就意味着，從本質上看，僅僅靠馬氏體相變並不能使相變產物具有特別高的強度。即使對鋼來說，當含C量低時，馬氏體相變也不會使鋼獲得高的強度。所以，為了闡明鋼的強化，僅僅把馬氏體相變當成一種固態反應是不夠的，我們還必須研究Fe-C馬氏體所特有的性質。

馬氏體相變由形成一個獨特的相界面來實現，該相界面共格地連接母相和新相點陣，當界面掠過母相時，母相就轉變成馬氏體，（圖3）。由於相界面的共格性質，故相變過程就不需要由熱激活的原子一個接一個地跳過正在移動着的相界面。所以，即使



(a)



(b)

圖2*** 含碳 0.5 W%**** 和含鎳 23.1 W% 的

Fe-Ni-C 合金中的馬氏體片

a) 200°C 回火使馬氏體變黑，未腐蝕 b) 拋光表面上的浮凸(Hoffman) × 250；複製時縮小了 27% 左右

* 本文系美國麻省理工學院冶金系教授 Morris Cohen 1962 年在紀念 Howe 的講演會上的報告。全文篇幅較長，其中第一部分闡述 Howe 在鋼強化研究方面的個人功績以及美國研究強化問題的歷史過程，翻譯時作了刪除，原文中亦刪去了原著最後一段的敘述——譯者注
** 和擴散性相變一樣，這時也發生體積的變化

*** 圖 1 已刪去

**** W% 表示重量百分比，以後同——譯者注

* 原文為位移，即切變，下同——譯者注

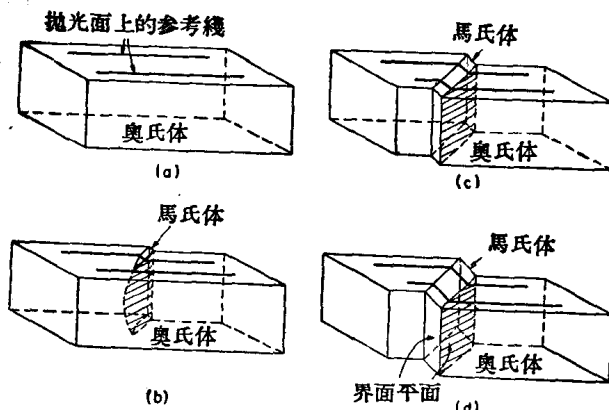


图3 一种切变式相变的图示

在零下温度，馬氏体也自然能很快地扩展。当馬氏体一經形核，通常立即依正規或非正規的形态以极高的速度长大^[14]，直至界面失去其可动性或遇到了障碍物(晶粒晶界，先形成的馬氏体片，等等)阻止其长大时为止。而进一步的相变，又須依靠在已存馬氏体片間的空間再一次重新形核和长大，因而也就得到越来越細的馬氏体片，如图2所示。

因此，很清楚，馬氏体相变的整个动力学“即，所形成的馬氏体体积百分数和时间(或温度)的关系”主要决定于形核的动力学和馬氏体的空间几何学。若形核和时间无关(象大多数馬氏体相变那样)，則随着温度降低的同时，相变就立即进行，这时我們就觀察到熟知的非恒温型的馬氏体相变。但是也有一些恒温形核的例子，这时即使在某一固定温度下，馬氏体亦将快速长大。作为当前的目的來說，需要評价的問題是：相变产物是恒温还是非恒温形核的？长大是快速还是緩慢傳播的？这些表象不是馬氏体相变的实质，而实际上却是更基本的切变性和无扩散性的結果。

可以預料，在馬氏体产物中也有若干种与应变硬化相同的缺陷。馬氏体相变的宏观切变会在殘留的母相中产生点阵缺陷及畸变，并显然为随后形成的馬氏体所承襲。而且，当我们从图2看到在自由表面上(預先抛光的)，因馬氏体的形成而出现大量的隆起和浮凸时，就不难想象在馬氏体内部及与其极邻近的奥氏体内部会产生极大的微觀应力*。馬氏体片本身也可能直接因相变过程而包含有滑移带和孿晶精細結構。因为原子从母相轉移到馬氏体最終位置时，通常需要两次切变，宏观切变在整个馬氏体片內是均匀的，它和前述的表面浮凸和隆起相一致，同时，为了說明所觀察到的结构和晶体学特点，在相变区域內还必须产生小尺度範圍的切变(图4)。該

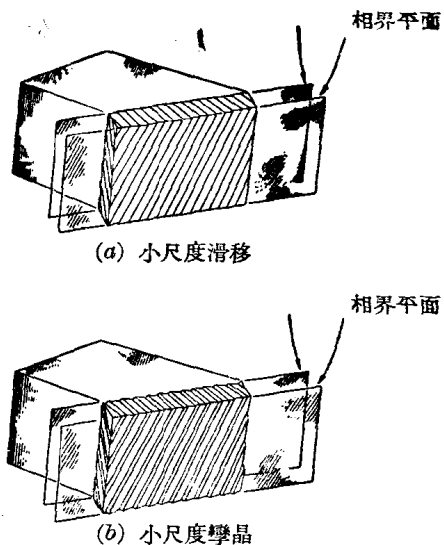


图4 实現馬氏体相变的均匀切变和局部切变的图示

图表示了当馬氏体相界面在母相点陣中移动时，和宏观切变同时发生的滑移或孿生如何在小尺度範圍内产生，目前尤其是馬氏体内有孿晶的形成，已得到很好的証明^[18]。

显然，馬氏体結構是一种复合的总体，构成了在应变硬化中起作用的大多数現象。但是，只要我們現在对应变硬化了解还很不全面，那么，在 Fe-C 馬氏体强度的理論方面仍会遇到极大的困难，甚至对简单的純金属也是如此。此外，还存在着更为复杂的現象，因为 Fe-C 馬氏体不仅在热力学上比铁素体和渗碳体更不稳定，而且因为碳在室温下具有足够大的易动性，故在試驗前或試驗过程中产生了沉淀硬化，这是不容忽視的現象。

二、Fe-C 馬氏体的結構

馬氏体中的C原子，也和它在母相中一样，占据点陣中的間隙位置。这可以用 C 原子的直徑只有 Fe 原子的 6/10 左右來証明，但是，无论馬氏体或奥氏体点陣晶胞的平均大小都严格地随含碳量的增高而增大。两个相的点陣常数可从下式求得^[17]：

奥氏体(面心立方)

$$a[kX]^{**} = 3.548 + 0.044(\%C) \\ = 3.548 + 0.0094(\text{at } \%C) \quad (1)$$

* 这里我們不考慮長程殘余应力。这些应力可能出現 在大块試样中，它們对鋼的淬火強化不起作用——因为即使对細絲，馬氏体相变也能使其硬化

** [kX]：X 射綫波長度的实用单位， $1[\text{kX}] = 1.002\text{\AA}$ ——譯者注

馬氏体(体心正方)

$$a[kX] = 2.861 - 0.013(w\%C) \\ = 2.861 - 0.0028(ar\%C) \quad (2)$$

$$c[kX] = 2.861 + 0.116(w\%C) \\ = 2.861 + 0.0247(ar\%C) \quad (3)$$

$$c/a = 1.000 + 0.045(w\%C) \\ = 1.000 + 0.0066(ar\%C) \quad (4)$$

其中 $w\%C$ = 碳原子的重量百分数

$ar\%C$ = 碳原子的原子比百分数或每 100 鉄原子中的碳原子数*

把上述关系式作成图 5 和 6，并在图中画出了相应的单位阵点的体积。虽然体心正方的馬氏体单位晶胞的 c 轴，随含碳量增加而增大的速率，比奧体点阵(面心立方)的 a 轴大 3.3 倍，但因为馬氏体晶胞的 a 轴缩短了，故其体积的胀大率反而比奧体慢。出現这种現象的原因是：面心立方点阵中 Fe 原子的排列比体心立方中的为紧密，故間隙碳在奧体内所产生的体积膨胀比体心立方为大。关于这个问题，我們将在后面再行討論。

多年来曾假設，若把体心正方的馬氏体点阵常数倒推至无碳的体心立方的鐵素体时，其轴比应等于 1。但是，关于这种外推法，还不能完全肯定。因为有人指出^[17a]，当含碳量大致低于 0.1 w% 时，馬

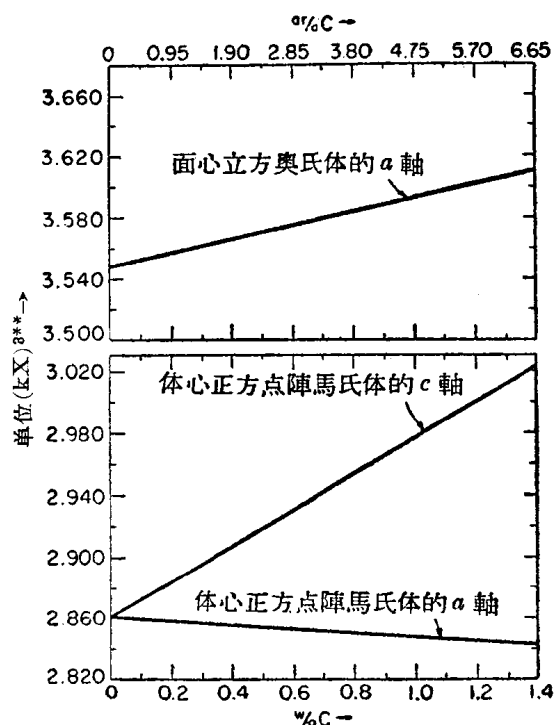


图 5 Fe-C 奥氏体及馬氏体的点阵常数(Roberts)

* 恐系 kX 之誤——譯者注

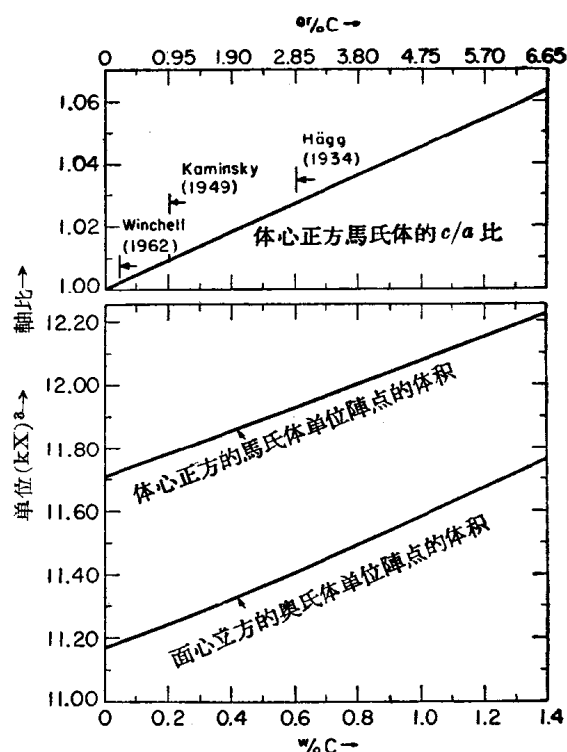


图 6 碳对正方馬氏体軸比及馬氏体和奧氏体的单位陣点体积的影响

氏体就可能以体心立方的点阵存在。近年来，随着 X 射线技术的发展，愈来愈小的轴比也变得能测定了，如图 6 所示。在 Winchell 关于 Fe-Ni-C 馬氏体的最近的工作中^[18]，用低温(远低于室温)下形成馬氏体并在低温下(在重新加热到室温前)进行 X 射线测量的方法，消除了那种因偶然因素的时效而失去正方性的危险，这样，至少当含碳量降低到 0.05 w% C 时，还发现馬氏体是正方的。因此，只有在无碳或极低碳(万分之几)时，点阵才变为立方。所以，我們肯定，Fe-C 馬氏体的体心正方性是碳所导致的一种 α -Fe 体心立方点阵的畸变形式。

我們知道，奧氏体是以面心立方 γ -Fe 为基的固溶体，膨胀了的点阵仍旧保持面心立方，所以认为：間隙碳原子使奧氏体点阵对称地膨胀。与此相反，为使体心立方点阵改变成体心正方，馬氏体内的碳原子必须使立方点阵产生不对称畸变。至于产生这种差别的原因，则只要比較面心立方和体心立方中的間隙位置就可清楚地明瞭。在上述两个相中，碳原

* 原子比百分数帮助我們具体想象 C 原子的作用乃决定于在一定数量 Fe 原子內的間隙碳原子数。在整个有兴趣的范围内，用此法表示的碳成分简单地正比于重量百分数： $1 ar\% C = 4.75 w\% C$

子都占据八面体的中心(图 7)，在碳原子周围，都有 6 个 Fe 原子作为近邻。但在面心立方点阵中，每一个晶点只有一个这种间隙，而体心立方中却有 3 个。

图 7 說明，面心立方点阵中，任何一个间隙位置周围 Fe 原子的排列情况都相同，所以，所构成的八面体是正八面体。但在体心立方点阵中，相应的八面体为沿着一个轴的方向缩短了的扁八面体，如图 7(b)所示。同时因为此扁八面体不象面心立方中的正八面体那样有三个四次对称轴(三个对角线方向)，而只有一个沿短轴方向的四次对称轴(如箭头所示)，这就赋予扁八面体一个“位向”。关于八面体的几何关系(以 Fe 原子对间的距离表示)总结于表 1 中。

体心立方点阵中，所有的八面体位置可分成三组数量相等(实际上，相对于每一组每个晶点有一个间隙)但位向不同的组：第一组八面体短轴方向沿点阵的 x 轴方向，第二组沿 y 轴方向，同理，第三组沿 z 轴方向。所有这些间隙位置，都用箭头表示于图 7(b)中。

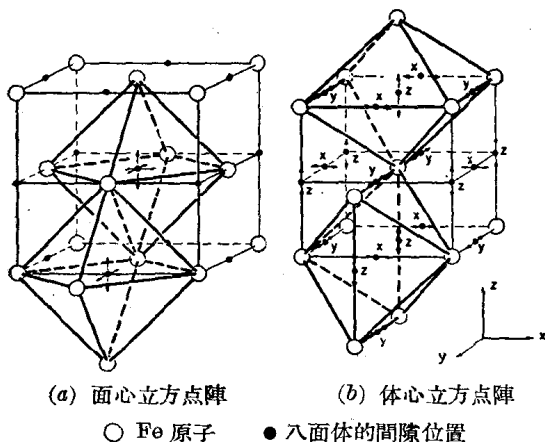


图 7 面心立方和体心立方的单位晶胞，此图大致按 γ 和 α 点阵常数比例画的。八面体间隙位置用●表示。箭头表示四次对称轴，两个图中都画出了两个典型的八面体。可見面心立方的八面体是正八面体，而体心立方为扁八面体

当一个碳原子间隙地溶入奥氏体中，并又通过无扩散相变间隙式地保留在马氏体点阵中时，碳原子使其周围 Fe 原子所产生的局部位移极不相同。在面心立方中，点阵仍保持原来的正八面体，但在体心立方的扁八面体中，碳原子力图使其变成正八面体，即如图 8 所示。表 1 表示了碳原子周围 Fe 原子对之间的新距离和相应的晶面间距的分数变化。

如果认为一般的“硬球假设”是粗略近似的話，则表 1 中的公式就能化成具体数值。从 α -Fe 和 γ -Fe 点阵常数算得 Fe 原子直径分别为 $d_{\text{Fe}}^{\gamma} = 2.478$

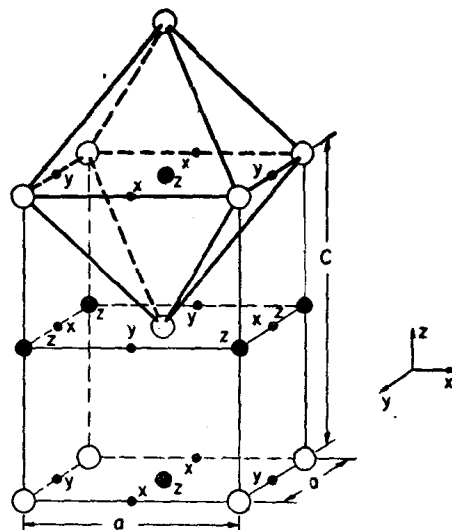


图 8 当八面体的 z 组间隙位置全部为碳所占有时的体心正方点阵。这时，c 轴平行于 z 轴，但 x 组和 y 组间隙位置保持空隙，不为碳所占有

- Fe 原子
- C 原子
- 间隙位置

kX 和 $d_{\text{Fe}}^{\gamma} = 2.508 kX$ ，其差为 1.2%。并且，认为在有碳的情况下，此值也保持不变。至于碳的惯用原子直径，是从碳的金刚石结构中求得的，其值为 $1.541 kX$ ，这时碳原子包围在由碳原子本身所组成的四面体中，而不是前述的 Fe 原子的八面体中。对我们来讲，更为合适的有效碳原子直径可从下面的考虑中求得，即：八面体对角线方向上的 Fe 原子距离，因碳的溶入所引起的分数变化(表 1 中带*号的方程)，必须和马氏体 c 轴的伸长(方程(3))及 a 轴的缩短(方程(2))相一致。这样所算得的碳原子直径为 $d_C^{\gamma} = 1.410 kX$ 。我们假定， γ -Fe 中的碳原子直径 d_C^{γ} 也等于此值。

在表 1 中，列出了 Fe 原子对之间的距离的数值变化。由表可知，在面心立方点阵中，间隙碳原子周围的 Fe 原子距离对称地膨胀了 10%，但在体心立方点阵中，情况却迥然不同，沿扁八面体短轴方向上的 Fe 原子距离大大地伸长了 36%，而在另外两个方向上的收缩却只有 4%。所以，计算所得的马氏体的轴向膨胀为面心立方中对称膨胀的 3.6 倍，此值与方程(1)和(3)所示的点阵的分数变化的比值 3.3 相近*。显然，间隙碳在体心立方 Fe 中所造成的畸变决不会是球状对称的，我们将这种局部的形状改变称作“畸变偶极”。

* 这就暗示了从马氏体点阵常数计算所得的碳原子直径和从奥氏体点阵常数计算所得的碳原子直径相一致

表 1 Fe 及馬氏体八面体间隙位置的几何学

	鐵原 子 对 間 的 距 离*		
	不 含 碳 的	有 碳 的	分 数 变 化
f.c.c. 点阵*** 对角线上的 Fe 原子 3 对	$\sqrt{2} d'_{Fe} = 3.548$	$(d'_{Fe} + d'_C) = 3.918$	$\frac{\sqrt{2}}{2} \left(\frac{d'_C}{d'_{Fe}} + 1 \right) - 1 = 0.10$
近邻的 Fe 原子 12 对	$d'_{Fe} = 2.508$	$\frac{\sqrt{2}}{2} (d'_{Fe} + d'_C) = 2.770$	$\frac{\sqrt{2}}{2} \left(\frac{d'_C}{d'_{Fe}} + 1 \right) - 1 = 0.10$
b.c.c./b.c.t 点阵 对角线上的 Fe 原子 1 对	$\frac{2}{3} \sqrt{3} d''_{Fe} = 2.861$	$(d''_{Fe} + d''_C) = 3.888$	$\frac{\sqrt{3}}{2} \left(\frac{d''_C}{d''_{Fe}} + 1 \right) - 1^{**} = 0.36$
2 对	$\frac{2}{3} \sqrt{6} d''_{Fe} = 4.047$	$(d''_{Fe} + d''_C) = 3.888$	$\frac{\sqrt{6}}{4} \left(\frac{d''_C}{d''_{Fe}} + 1 \right) - 1^{**} = 0.039$
近邻 Fe 原子 4 对	$\frac{2}{\sqrt{3}} \sqrt{3} d''_{Fe} = 2.861$	$\frac{\sqrt{2}}{2} (d''_{Fe} + d''_C) = 2.749$	$\frac{\sqrt{6}}{4} \left(\frac{d''_C}{d''_{Fe}} + 1 \right) - 1 = 0.039$
8 对	$d''_{Fe} = 2.478$	$\frac{\sqrt{2}}{2} (d''_{Fe} + d''_C) = 2.749$	$\frac{\sqrt{2}}{2} \left(\frac{d''_C}{d''_{Fe}} + 1 \right) - 1 = 0.11$

* Fe 原子距离系按照“硬球假設”简化考虑了的 Fe 原子中心的距离, d'_{Fe} , d''_{Fe} , d'_C , d''_C 为面心及体心立方点阵中 Fe 原子及碳原子直径, 单位为 kX, 所有的数值都是根据 $d'_{Fe} = 2.508$, $d''_{Fe} = 2.478$, $d'_C = d''_C = 1.410$ kX 求得的

** 把这些公式的比值和方程(2)及(3)联系起来, 可用以计算碳原子直径

*** f.c.c. 系指面心立方, b.c.c. 体心立方, b.c.t. 体心正方, 后同——譯者注

我們早會說過, 在体心立方点阵中, 八面体的间隙位置比面心立方多 2 倍。因此, 即使所有的面心立方间隙都可被碳原子所填滿($100 \text{ at}/\text{o}$ 或 $50 \text{ at}/\text{o}^*$), 那么, 馬氏体相变后, 也只有 $1/3$ 的间隙位置填有碳原子。若相变是无扩散的, 則所有被填充的位置将只是三組可能的间隙位置中的一組, 也就是說, 馬氏体中碳原子周圍的畸变偶极都具有方向相同的极軸, 此种情况之一示于图 8 中。所以, 即使奧氏体中的间隙位置只有部分被碳原子所填充, 碳原子的分布也仍与前述者相同。在馬氏体晶体中, 由于畸变 c 偶极沿同一方向排列的結果, 将直接使馬氏体变为正方**, 即在平行于极軸方向上, 晶胞具有伸长了的軸(或 $[001]$ 方向), 垂直于极軸方向上, 晶胞具有縮短了的 a 軸。当任一組间隙位置愈来愈多地被碳原子所占有时, 整个軸比将从 1 开始逐渐增大。但是, 如果碳原子可任意地分布在三組间隙位置上的話, 那么, 任一馬氏体晶体中畸变偶极的分布, 沿三个主軸方向(a , c)都應該是等同的, 这样, X 衍射所显示的应是膨脹了的体心立方点阵, 而不是体心正方点阵。

好多年来, 畸变偶极已由 X 射綫所証明。用积分强度的测量值, Lipson 和 Parker^[19]証明, 馬氏体中的 Fe 原子, 在体心立方单位晶胞的 c 軸方向上占据了一定的范围。这就意味着, 如果点陣中溶入

了碳原子, 則在 c 軸方向上铁原子将被强烈地推开, 如图 9。所以, 铁原子的中心位置可能大大地偏离于体心正方晶胞陣点的平均位置。关于这一問題, 苏联学者最近所得到的定量数据指出^[20]: 馬氏体中

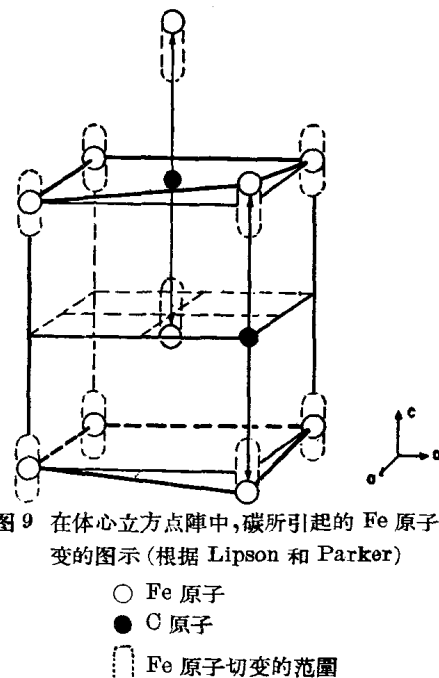


图 9 在体心立方点阵中, 碳所引起的 Fe 原子切变的图示(根据 Lipson 和 Parker)

○ Fe 原子

● C 原子

□ Fe 原子切变的范围

* at/o: 原子百分数——譯者注

** 必須強調指出: 在点陣常数的測量方面, X 射綫也只給出了大量晶胞的平均值

Fe 原子的靜位移的均方根*隨含碳量的增多而增大，而且在 c 軸方向上的靜切變比 a 軸方向的靜切變要大得多^[21]。

不仅 Fe-C 馬氏體的正方性是間隙碳及其有序分布(無擴散相變所引起)的必然結果，而且，碳原子依这种方式存在，要比它在三組可能位置中任意分布更为稳定。內耗測量發現^[22]，Fe-C 馬氏體中的碳原子，不象它在 Fe-C 鐵素體中那样，具有从一組間隙位置跳到另一組間隙位置的傾向。我們知道，Fe-C 鐵素體是一種含碳量極低的固溶體，且不是馬氏體相變的產物，因此，對於給定的 Fe-C 鐵素體晶體，碳原子周圍畸變偶極的取向，沿三組可能的位向大致相等，這樣點陣雖有輕微膨脹，但仍保持體心立方^[23]。

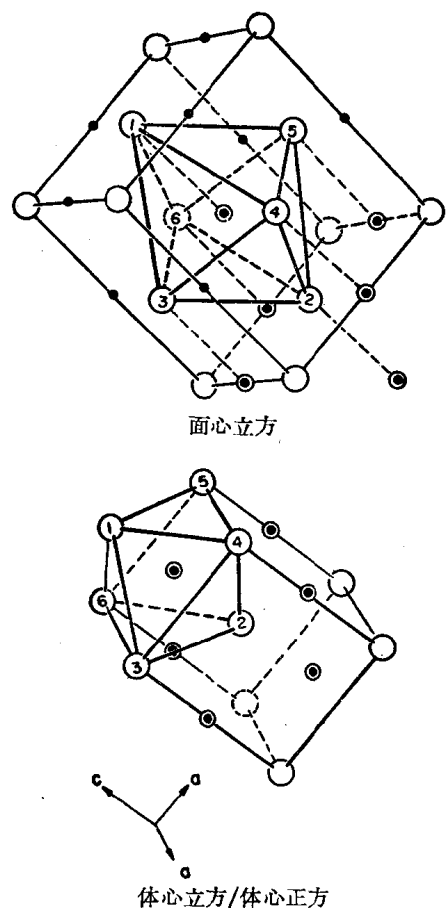


圖 10 面心立方和體心立方(或體心正方)之間的對應關係；以及它們在鋼中的相對位向。注意，奧氏體中所有的八面體間隙只能變為馬氏體中某一個間隙，因此，單位晶胞的 c 軸應和圖中扁八面體的四次對稱軸的方向一致

- Fe 原子
- 面心立方中的間隙位置
- ◎ 面心立方和體心立方/體心正方中相應的八面體間隙位置

必須注意，不應該從圖 7 中的八面體來推斷馬氏體和奧氏體的相對位向，實際上，就兩相的平行面及平行方向來說，圖 10 才更精確地表示出它們的晶體學位向關係。當然，這樣做絲毫也不改變以前的論斷，因為這裡不需要考慮相變的機理。圖 10 中供討論所選擇的八面體，特別適宜於說明碳對 Fe 原子局部切變所起的作用，而此種切變，也很可能正好等於奧氏體轉變為馬氏體的原子切變。

現在，我們將轉到由電子顯微鏡及 X 射線衍射線條變寬的研究所揭示的馬氏體精細結構中去。在 Fe-C 馬氏體中，應注意到隨含碳量的增加，鑿晶薄片中的平行排列容易發現^[16]。但是，對 Fe-Ni-C 馬氏體(調整 Ni 及 C 的成分，使其 M_s 點低於 0°C)，則在整個 $0\sim 1\text{ w/o}$ 含碳量範圍內，都出現這種鑿晶^[24]。關於這種精細結構的一個例子示於圖 11 中^[25]，其鑿晶面的面間距約為 100 \AA 左右。對於這種晶內鑿晶可認為是圖 4(b) 所示的小尺度切變的結果。如果，在馬氏體晶體內不存在鑿晶，那麼相變所需的小尺度切變將主要由滑移來實現，如圖 4(a) 所示。由於這種馬氏體內部結構如同在冷加工金屬中那樣，可能起粒子大小的作用，所以，我們在後面，還將討論這種結構是否對馬氏體強化過程起作用的問題。

取與圖 11(a) 所用的完全相同的試樣進行電子衍射試驗，則衍射線條，如圖 11(b) 所示極其清楚地顯示出馬氏體中因共格衍射疇尺寸的減少所引起的線條變寬，勞埃斑點更進一步證明了馬氏體鑿晶結構的鏡面對稱關係。對 X 射線衍射線條變寬進行的定量研究已證明，Fe-C 馬氏體中的共格衍射疇的尺寸約在 $150\sim 300\text{ \AA}$ 左右，並與含碳量的多少无关。

在所觀察到的線條變寬中，部分也由切變型相變時的點陣應變所引起(即相變應力造成的點陣應變——譯者注)，並存在於微觀距離的範圍內。當用電解方法將馬氏體片從其周圍取出時，這些微觀應變實際上被消除了^[27]，因此，決不會和所討論的與碳原子有關的原子局部切變相混淆。同時，這種微觀應變也和大塊試樣淬火時，由溫度梯度所造成的宏觀切變不同。馬氏體中這種微觀應變和含碳量有關，其範圍從 1.6×10^{-3} (48000 磅/吋 2)左右起(含 C 量 0.032 w/o 碳鋼)至 10×10^{-3} (300,000 磅/吋 2 高碳鋼)止。顯然，這種趨向在考慮馬氏體的強化時不容忽視。

* 對 Fe 原子因 C 的存在而引起的靜切變和因熱振動而引起的動切變應加以區分。後者敘述於後。

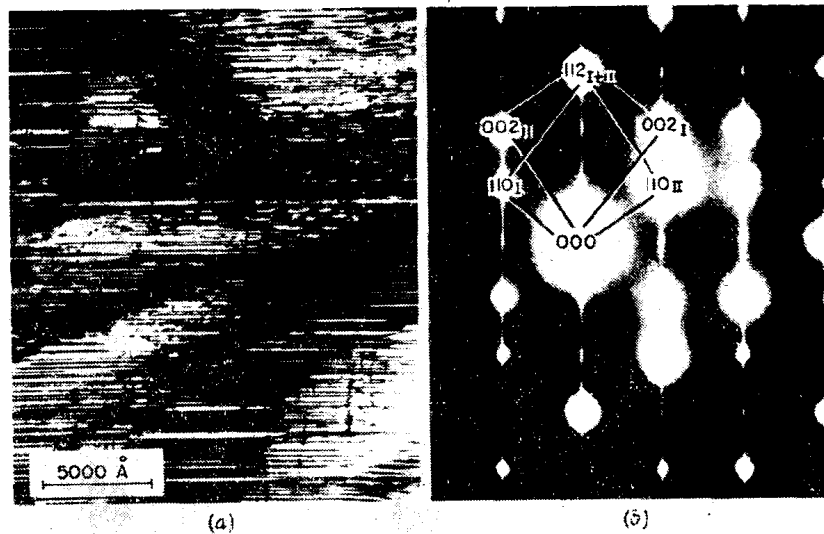


图 11

- (a) 用透射式电子显微镜所显示的小尺寸孿晶 ($\text{Fe}-33.6\text{ w}/\text{o Ni}$)
 (b) 和电子显微镜照相的位向相对应的电子衍射图。罗馬字脚号 I, II 表示孿生位向。[112] 方向的线条是由孿生时在该方向的共格衍射畴小尺寸所造成

三、 $\text{Fe}-\text{C}$ 馬氏体的强度 ——实验方面

已經多次指出，用淬火硬化的方法使鋼的强化与含碳量有关。图 12 表示鋼的硬度与含碳量的关系^[28,29]。但遺憾的是，对馬氏体的强度类似这样的曲綫是得不到的。而且，还另有一些困难：a) 因残余奥氏体的存在，使馬氏体的高碳性质变得不可靠；b) 低碳性质也因淬火硬化时，可能有非馬氏体相变的产物形成(淬透性不够)而变得不能确定；c) 在所討論的整个含碳量范围内， M_s 点的变化可能使淬火过程中自行回火的程度有所不同。此外，即使这些問題都解决了，淬火馬氏体仍然存在着在試驗前或試驗过程中因室温时效而产生扩散型相变的倾向。我們知道，馬氏体中碳化物的析出过程，在室温下也能进行^[30,31]。那么，沉淀硬化对馬氏体的强化究竟起什么作用呢？它是不是控制着我們正欲探明的强化現象呢？这些問題，不应輕易忽視。

研究时效动力学使我們得出結論，碳在体心正方馬氏体中的扩散比在体心立方的鐵素体中的扩散更慢。对此适当的解釋是鐵素体中的碳原子可向所有的八面体間隙(每个陣点有三个間隙)跳动，但在馬氏体中，碳的跳动主要限制在那些对正方性有作用的間隙位置(每个陣点有一个間隙)。Hillert^[32]已經提出了估算馬氏体中碳扩散系数(D_c^M)的公式：

$$D_c^M = D_c^a \cdot \exp \left[-\frac{6700 \text{ w}/\text{o C}}{2RT} \right] \\ = 0.02 \exp \left[-\frac{20100 + 3350 \text{ w}/\text{o C}}{RT} \right] \quad (5)$$

从所求得的 D_c^M 值，我們可計算 a)一个碳原子变动其位置所需的时间(τ)；b)一个碳原子移动給定距离 \bar{x} 的扩散时间 $t_{\bar{x}}$ 。前者从解多向扩散方程

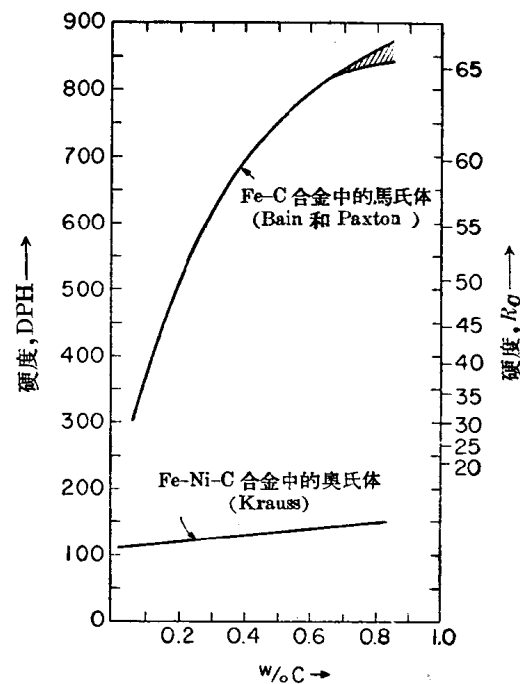


图 12 馬氏体-奧氏体的硬度和含碳量的关系。馬氏体曲綫中阴綫部分表示残余奧氏体的大致影响

$$D = \frac{\delta^2}{6\tau} \quad (6)$$

中求得。式中 δ 为跳动距离, τ 为碳原子停留的平均时间或跳动频率的倒数。而扩散时间 $t_{\bar{x}}$ 可从下式求之:

$$\bar{x} = 2\sqrt{Dt_{\bar{x}}} \quad (7)$$

为了选取适当的 \bar{x} 值, 我们假定, 如果碳原子通过 10 \AA 距离(内部攀晶界面距离的 $1/10$)的扩散, 就

能聚集或沉淀于形核位置, 则它就会对马氏体的强度产生可测量的影响。

根据这一假设求得的结果列于表 2 中, 它指出, 在室温时马氏体在几秒或几分钟内就会产生时效作用, 且在较高温度下, 变得非常迅速, 故当马氏体在淬火过程中形成、并通过这些高温度时, 就必定会时效。所以, 为了避免这种可能的扩散型过程的干扰, 必须把温度降至远低于 0°C 以下。

表 2 碳在铁素体及马氏体中扩散时间的近似值

温 度 °C	跳 动 时 间			扩散距离 = 10 \AA 所需的时间		
	铁素体	0.5 wt\% C 马氏体	1.0 wt\% C 马氏体	铁素体	0.5 wt\% C 马氏体	1.0 wt\% C 马氏体
200	3 微秒	10 微秒	60 微秒	0.2 菲秒	1 毫秒	8 毫秒
20	2 秒	15 秒	5 分	2 分	35 分	10 小时
0	20 秒	4 分	15 小时	25 分	9 小时	8 天
-35	1 小时	1 天	1 月	4 天	5 月	13 年
-60	1 周	8 月	32 年	11/2 年	85 年	44 世纪
-100	12 世纪	9×10^2 世纪	4×10^4 世纪	10^3 世纪	10^5 世纪	2×10^7 世纪

这个问题, 直到 Peter Winchell* (当时的麻省理工学院的研究生) 才作了解决。他设计了一系列 Fe-Ni-C 合金, 其含碳量的范围从 0 wt\% 起到接近 1 wt\% 止, 而含 Ni 量的多少, 必须保证 M_s 点在 -35°C 左右 (从 30.5 wt\% 减少到 16.7 wt\%)。钢的淬火硬化在低温下进行, 马氏体性能的测试也直接在低温下进行, 而不把试样的温度回升到室温。然而, 即使在液氮 (4°K) 中冷却, 这些合金也不可能全部转变成马氏体。所以, 通常马氏体-奥氏体混合体的硬度及强度性质决定于马氏体含量的多少, 而 100% 马氏体的性能可从曲线上外推求得, 如图 13。若对于任一给定合金, 则在试样回升到预定的试验温度前调整冷却温度 (在 M_s 点以下), 合金便可得到不同比例的马氏体和奥氏体混合体。

用上述这种试验, 就有可能揭示 100% 马氏体在纯粹或未时效的状态下, 强度和含碳量的关系, 并发现含 Ni 量的相应变化对强度的影响, 可忽略不计。由于高碳马氏体的脆性大, 故选择压缩试验来测定流变强度 (通常对应于应变量 0.6% 时的强度); 对低碳合金, 拉伸和压缩都可进行, 但考虑到试验的困难, 采用和高碳合金相一致的压缩试验更好些。

图 14 指出了纯马氏体在 -195°C 时的硬度如何受碳及高温时效的影响。所有这些曲线的硬度值, 都是在淬火硬化和时效处理后, 在液氮下测得的。显然, 这些曲线首先极其清楚地说明了纯马氏体的硬

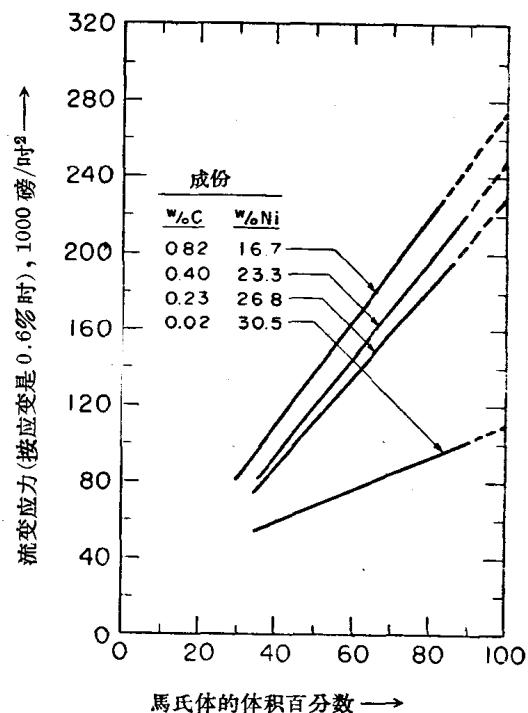


图 13 马氏体-奥氏体混合体在时效 3 小时后, 室温下测得的流变应力。试验方法为压缩, 流变应力按 0.6% 应变量确定 (Winchell 和 Cohen)

度与含碳量有关, 而且即使当碳原子本身没有机会重新排列时也如此 (见未经时效的性能——译者)

* 现为 Purdue 大学冶金助理教授

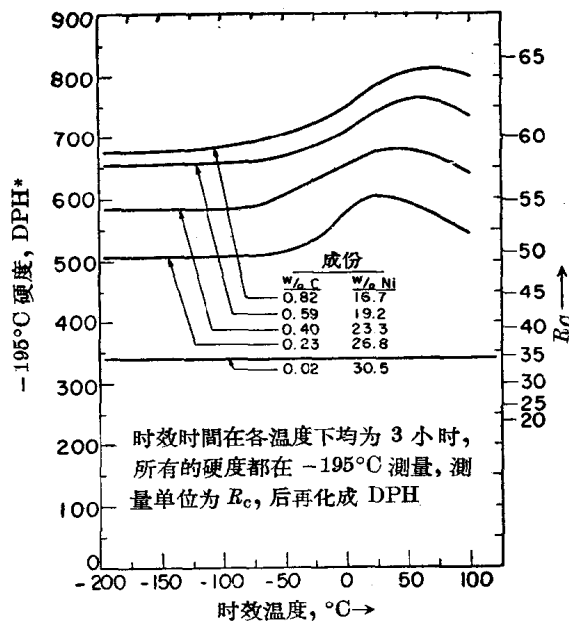


图 14 Fe-Ni-C 合金 100% 马氏体, -195°C 时的硬度和时效温度的关系(时效时间均为 3 小时)
(Winchell 和 Cohen)

* 硬度值 DPH 为金刚石硬度单位

注)。其次, 尽管无碳马氏体仍包含有小粒子、微观应变和精细结构, 但其硬度并不特别高。最后, 如果扩散过程可以进行的话(如在 -60°C 以上, 时效 3 小时), 就出现了某些附加的硬化。由此我们可推论, 时效硬化过程包含了碳的扩散, 所以这种附加硬化的程度与含碳量有关, 而当含碳量足够低时, 这种附加硬化现象就不复存在。随着时效温度的升高, 时效过程加速, 并抵消了熟知的(但轻微的)时效第一阶段的硬化(出现在室温或略高于室温)。实际上, 电阻测量指出, 时效第一阶段的碳化物沉淀, 在 -60°C 以上就能进行。所以, 碳在马氏体内的扩散, 至少在这些温度范围内要比表 2 中计算的快得多, 当然, 这可能是马氏体内的短路扩散所引起。

这一普遍效应的另一个重要特点, 如图 15 所示。它指出, 马氏体的流变应力和试验温度有关。让我们先研究两条标有“纯马氏体”的曲线, 可以看出马氏体的强度性质受含碳量影响非常敏感, 即使在液氮温度下, 碳原子完全被“冻结在固定的位置”, 其强度仍和含碳量有关。当试验温度提高时, 流变应力, 正如所预料的那样降低了, 而应力和温度间的关系不受含碳量的影响。但当试验温度高于 -60°C 时, 高碳马氏体的流变应力开始升高, 这种反常性很容易用试验前与试验过程中的时效硬化来说明, 它应和图 14 中的时效硬化属于同一现象。

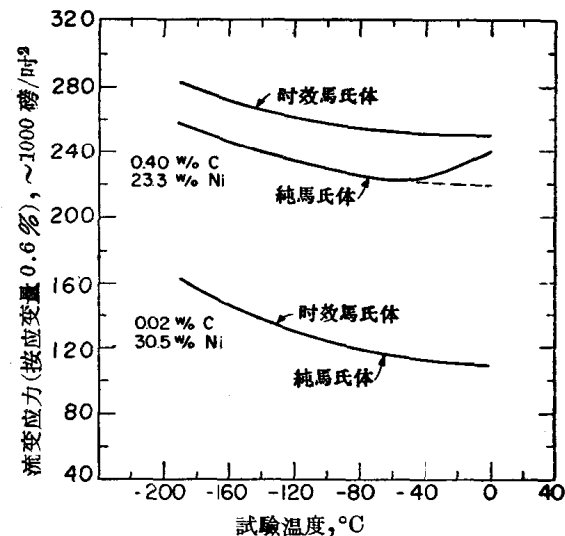


图 15 两种含碳量的马氏体的流变应力和试验温度的关系。该图系纯态及时效态(0°C , 3 小时)的 100% 马氏体的数据。(Winchell 和 Cohen)

如果, 将马氏体经 0°C 时效 3 小时后, 再在与上述试验相同的温度范围内测定流变应力, 则得到了图 15 中标有“时效马氏体”的曲线。该曲线和纯马氏体曲线的不同证明了时效处理使钢强化。此外, 正如早已看到的那样, 时效对强化的作用随含碳

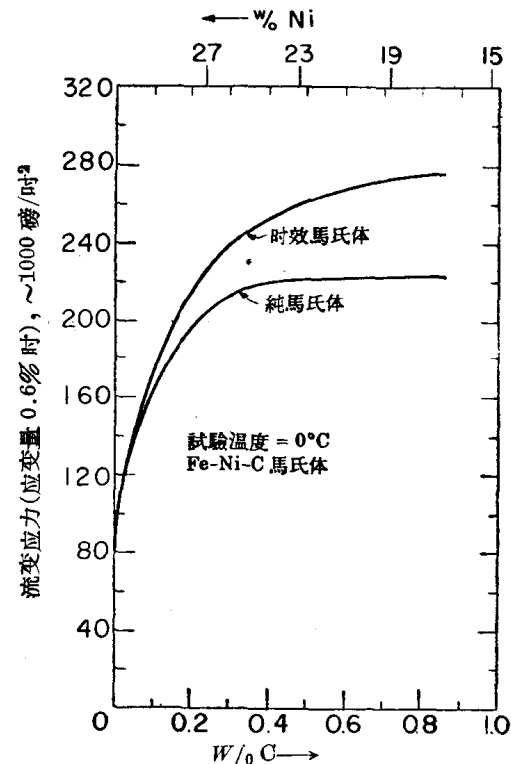


图 16 0°C 时马氏体(100%) 的流变应力和含碳量的关系。下面的曲线表示纯马氏体, 上面的曲线为时效马氏体, 时效温度 0°C , 3 小时。(Winchell 和 Cohen)

量的增加而增大，当含碳量非常低时，时效强化作用也就不存在了。又从曲线看出，虽然时效并不显著地改变流变应力和温度的关系，但纯马氏体曲线中的反常强化（高于 -60°C ）现象，却被预先的时效所消除了。

综合图 13 和 15，就得到了如图 16 所示的纯马氏体和时效马氏体中碳强化作用的相对大小。特别值得注意的是，在低碳范围内，马氏体（纯态和时效态——译者注）的强度随含碳量的增加而很快地增大。当含碳量大于 0.4% 时，纯马氏体的强度不再增高（保持水平线），但时效马氏体的强度仍继续依减速增大。所以，于钢的常规淬火强化（淬到室温）时，总是包含了附加的时效强化作用（假设淬火速度至少应保证避免过时效）。应该指出，虽然现在我们发现，时效强化不是马氏体强化的主要原因，但它却是一种不可忽视的因素，而且对强化来说，也是一种额外的收益。

四、Fe-C 马氏体的强度 ——理论方面

在迄今所报道的许多新发现中，我们已立足于完全可靠的基础上了。现在我们将要进入到理论领域中去。那里，潜在的困难也很多。

至此，我们已建立了这样的事实，纯态马氏体的硬度和强度取决于含碳量的多少；甚至即使在碳不能扩散的低温下形成马氏体并把它保持在那个温度，马氏体仍然具有这种性质。因此，这就意味着可以摒弃那些基于碳预先扩散的强化机理。属于这种机理的有，位错的间隙封锁，碳在某些特别位置（诸如堆垛层错、孪晶界及其他相界面）的富集，以及碳原子跳动聚集成碳原子团或碳化物沉淀相。可以想象，上述任一过程都可在高温时效的过程中进行，但是，它们不能从根本上解答我们的基本问题。

因为，马氏体中必定存在着与时效过程无关的精细结构，所以，我们首先把注意力集中在精细结构上，把它作为马氏体强化的可能原因。微观应变的存在、小粒子的尺寸、孪晶界以及各种缺陷行列的存在，可能对无碳马氏体的强度产生重要的作用，正象这些缺陷对体心立方铁素体的加工硬化有所贡献一样，但是由此而提高的流变应力只在 42000 磅/吋² 左右。实际上，某些非铁马氏体也具有晶内孪晶及其他类型的精细结构，但它们的强度和硬度也不见得特别高。

关于这个问题的实质争论是，Fe-C 马氏体中的小尺度效应是否会因碳的存在而变得更加明显。现有的某些迹象表明，粒子的尺寸^[20]、孪晶面的间距^[24]、以及位错行列^[24] 并不随含碳量的增加而出現任何有规律的变化。尤其是，本文所讨论的 Fe-Ni-C 马氏体中的孪晶间距，不管含碳量是否相同，都在 100 Å 左右。前曾述过，马氏体中的微观应变随含碳量而增大，但 Курдюмов^[20] 已证明，这种趋势乃是马氏体强化的结果，而非其原因。换句话说，在高碳马氏体中所发现的较大的微观应变，主要是因为高碳马氏体能承受较大的应力而不发生屈服之故。实际上，即使当含碳量低到足以避免时效硬化时，微观应变的弛豫（通过回火）也不能使强度有所相应的降低。

因此假定，马氏体的精细结构仅对马氏体的“碳致强化”起“基底”的作用，同时这种强化也不需要碳原子作预先的运动，于是，我们得出结论，在纯马氏体中的碳原子必须通过增强点阵的结合键或产生特殊的畸变起作用。前者称为“金属间化合物效应”，后者称为“固溶效应”。

对于金属间化合物的概念，不要仅仅因为马氏体具有可变成分而加以摒弃，因为，这里所讨论的不是化合比的问题，而是点阵结合的牢固程度是否因碳的存在而有所提高的问题。但根据后一点所进行的解释失败了。图 17 指出（引自 Winchell^[34]）：马氏体点阵结合的牢固度（杨氏模量）随含 Ni 量的增高而降低，且随含碳量的增加而进一步的降

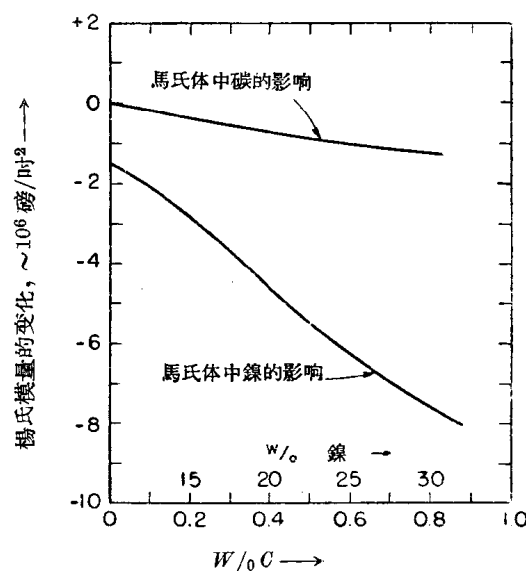


图 17 碳及镍对马氏体弹性模量的影响，测量温度为室温 (Winchell)

低*。因此，如果要說的話，也只能說馬氏体点陣的牢固度比鐵素体低，显然，这种趋势不能对馬氏体的强度提供清楚的解釋。此外，Krizkaja^[35](原名Крицкая〔苏联〕—譯者注)曾用积分强度的X射綫測量法証明，当含碳量增加时，因热振动而引起的鐵原子切变變得更大(原子結合鍵變得更松)，这一觀察表明，馬氏体中原子結合鍵实际上大大地降低了。但是，与此相反，馬氏体相的强度，却隨含碳量的增加而提高。

这些論証促使我們去研究把固溶强化作为馬氏体强化的主要原因。但是，即使在今天連学冶金的学生也已如此熟悉固溶强化时，我們仍必須着重探討为什么碳是馬氏体最强烈的固溶强化元素。

对于这个問題，應該忆及，本文所討論的Fe-Ni-C合金淬火到室温时，都完全呈奧氏体状态，因此，也就能測量碳对奧氏体硬度的影响。图12指出：虽然我們早已証明(图6)碳在面心立方点陣中产生的膨脹效应比体心立方中为大，但奧氏体的碳致硬化比馬氏体的碳致硬化弱得多。此外，这种在室温下的測量允許碳原子跳到位錯或其他有利的位置，所以，这时可能产生間隙原子的封鎖作用。Flinn^[36]已經間接証明了位錯的封鎖作用(在面心立方点陣Ni中碳所引起的强化)。这时，碳强化的起始速率在室温时为10000磅/吋²，在-195°C时为25000磅/吋²**，这样大的温度影响也許是位錯封鎖作用的一种証明。与此相反，馬氏体的碳致强化(图16中下面一根曲綫的起始斜率)等于490000磅/吋²/1. ar/oC (2.3×10^6 磅/吋²/1. w/oC)***，且和試驗温度无关(在末时效态)。这种固溶强化至少要比其他合金系中所发现的高出1个数量級。

也使人想到把馬氏体的正方性作为与其强度有关的因子。因为碳原子在三組八面体間隙中只選擇性地存在于某一組中，所以，当位錯在点陣中运动时，必須消耗一定的能量，以便碳原子从一組位置跳到另外兩組位置中去。但是，使一个碳原子呈无序态所需的能量大致正比于擇尤位置上的碳原子濃度，而被范性形变所造成的无序碳的原子数也和碳濃度成正比。因此，基因于能量消耗的强化应与含碳量的平方成正比。这就是說，碳的強化率在低碳时應該是小的，并隨含碳量的增加而增大。不幸的是，图16所示的实验数据正好与此相反。

另外还有一种有意思的强化模型也因为同一原因而被抛弃了。从图9所示的原子切变可知，对任何

給定的Fe原子，似乎不可能在其两侧 $\pm \frac{c}{2}$ 处同时占有碳原子，同样，在母相奧氏体中这也是不可能的。因此，这些不利的或高能的碳原子对在馬氏体中存在的机会极少。但是至少，当位錯扫过点陣的瞬间，可以形成这样的碳原子对。于是，为了提供所需的能量增量，就需要有附加的应力。然而可再一次証明^[18]，这种强化作用应和碳原子濃度的平方成正比。显然，这是不會觀察到的(图16)。

現在，我們假定，碳在馬氏体中的潜在作用归因于前述的强烈的畸变偶极。每个碳原子可想象为强烈的应力場中心，它使两个最邻近的鐵原子产生很大的切变。Fisher^[38]近似地用軸向力偶极代替碳原子使其最近邻的鐵原子产生相应的切变，并对总数为32个Fe原子的区域进行了計算。計算所得的应力場(在此偶极周围)将和晶体內存在的位錯发生强烈的交互作用，如果位錯很易弯曲，即如Mott和Nabarro^[39]所假設的那样，那末，位錯綫将相对于碳原子弯曲成能量为最低的形状，如图18。为了使处于稳定状态的位錯在应力作用下运动，就必须要求附加应力才能使位錯离开其低能位置。我們可对滑移面(112)_M和滑移方向[111]_M求解此附加应力，Winchell計算得到：

$$\sigma_c = 1.4 \times 10^{2.0} L^{-1/2} (\text{ar}/\text{oC})^{1/3} \\ = 2.4 \times 10^{2.0} L^{-1/2} (\text{w}/\text{oC})^{1/3} \quad (8)$$

式中 σ_c 为位錯与碳应力場交互作用所貢獻的流变应力， L 为被外应力所驅动的有效位錯长度(厘米)。依此模型，不能期望位錯开始运动后，有力学不稳定性或不連續屈服发生，因为当綫段 L 不可逆地突然扫向下一个平衡位置时，位錯綫段跃过障碍所消耗的附加能量立即以振动的形式輻射出去。Cottrell^[41]曾把能量釋放和溶质原子所引起的“弦的振动”作了比較，以后 Darken^[42]又用它計算了为一个运动位錯所承受的摩擦拖曳。

在方程(8)中出現了 σ_c 和含碳量的立方根关系，其原因是，若馬氏体单位体积內有 n 个碳原子和 N 个鐵原子，则碳原子間的平均距离为 $(1/n)^{\frac{1}{3}}$ ，而与位

* 韧性模量隨含 Ni 量的增高而显著降低的現象值得注意。在这里所用的含 Ni 量的范围内，韧性模量比 Fe 及普通碳鋼低了 25% 左右。这至少可部分地說明：Fe-Ni-C 馬氏体所能达到的强度比 Fe-C 馬氏体要低一些

** 此值根据 0.2% 应变量的流变应力求出

*** 起始速率 磅/吋²/1. ar/oC = 合金含碳量为零时每增加一个原子比百分数碳时所增加的强度(磅/吋²) —— 譯者注

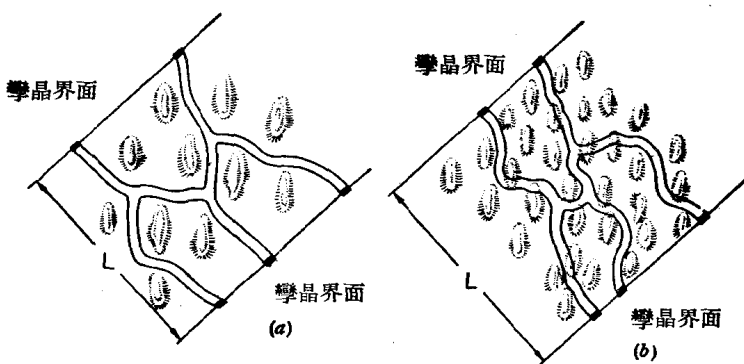


图 18 马氏体中位错在孪晶界面之间弯曲的图示

图中位错处在相对于碳原子周围应力场的能谷位置

(a) 低浓度的固溶体仅需要中等程度的弯曲，就能使位错具有最低的能量状态

(b) 高浓度固溶体使位错弯曲更甚，且碳原子处于位错中心的机率增大

错起交互作用的碳原子数约为 $L/(1/n)^{1/3}$ ，又因 $(n/N)100 = \text{ar}/\text{o} C$ ，于是也就得到了原子比的立方根关系。式(8)表明，碳所引起的强化率在低碳时最大，且随含碳量的提高而降低，这和图 16 所示的纯马氏体的碳含量～强度曲线相一致。

若现在我们假设：有效位错长度决定于马氏体中孪晶界面之间的距离，则 L 的近似值为 $100\text{\AA} = 10^{-8}$ 厘米；于是，方程(8)变为

$$\begin{aligned}\sigma_c &= 1.4 \times 10^5 (\text{ar}/\text{o} C) \text{ 磅/吋}^2 \\ &= 2.4 \times 10^5 (\text{W}/\text{o} C) \text{ 磅/吋}^2\end{aligned}\quad (9)$$

把式(9)和纯马氏体的实验值一起画成曲线，如图 19 所示。大约在 $0.4\text{ W}/\text{o} C$ 以下，数据不仅服从含碳量的立方根关系，而且，曲线的斜率也和式(9)的理论值相符*。

现在我们具备了把纯马氏体的流变应力外推至无碳成分的基础，由此所得到的值 42000 磅/吋² 可认为就是无碳马氏体的强度，其大小和应变硬化铁素体的强度相一致。于是，流变应力公式可表达成：

$$\sigma = 42000 + 2.6 \times 10^5 (\text{W}/\text{o} C)^{1/3} \text{ 磅/吋}^2$$

式中马氏体的含碳量不超过 $0.4\text{ W}/\text{o} C$

由此，我们从图 19 中看出，马氏体中的精细结构至少可通过两种途径对碳致强化起“基底”作用：a) 它控制着无碳马氏体实验曲线的截距高低；b) 它通过固定位错长度来影响曲线的斜率，公式(8)。若所取的 L 值大，则碳致强化仍大致服从立方根关系，但强化系数较小，所以强化效果变得相对地小了。另一方面，即使精细结构本身可以引起很大的强化（与退火状态相比），但在无碳的情况下，其所能达到的强度水平，并不很突出。据此，我们只有通过铁碳马氏体相变的本质，使碳固溶于马氏体中并使位错

的有效长度 L 值变小，才能实现钢的淬火强化。

当含碳量超过 $0.4\text{ W}/\text{o} C$ 时，固溶碳对马氏体进一步强化的作用非常小，这种理论值和实验值之间的不符或许说明碳原子相互靠得太近，以致偶极应力场间发生交互作用反而降低了应力场。 $0.4\text{ W}/\text{o} C$

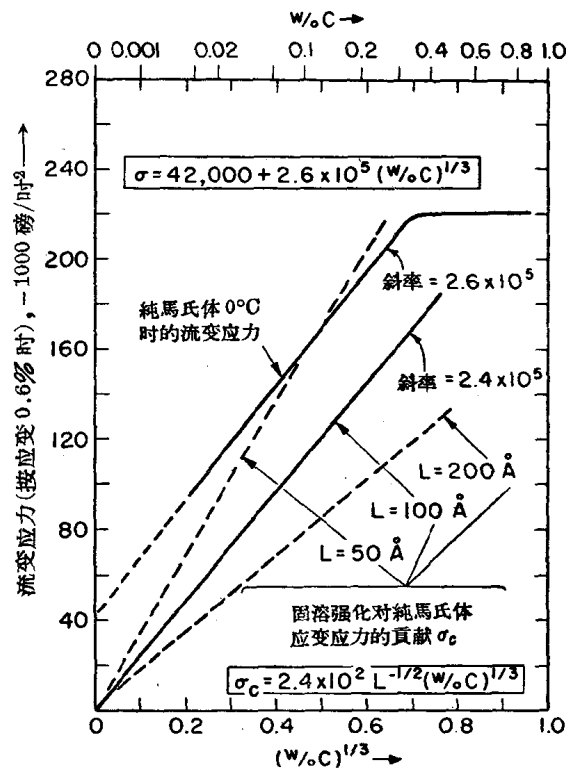


图 19 0°C 时，Fe-Ni-C 合金中纯马氏体的流变应力和含碳量立方根的关系，以及按三种位错长度(L)计算所得的固溶强化对马氏体流变应力的贡献 σ_c (Winchell 和 Cohen)**

* 数据比原始理论及计算值更符合。

** 图 19 中 $\sigma = 42,000 + 2.6 \times 10^5 (\text{W}/\text{o} C)^{1/3}$ ， σ 应作 σ_{co} 原图有误——译者注

相當於 50 個 Fe 原子中或 25 個單位晶胞中大約有一個碳原子，又因為 $(25)^{1/3} \approx 3$ ，故每三個單位晶胞在任意方向上有一個碳原子，所以，含碳量高於 0.4% 的應力場可能相互抵消。此外，也可能因碳原子相互靠得太近，位錯不能在非常小的尺度內彎曲，而且位錯芯部也將居留更多的碳原子（圖 18），這樣就得到了一種目前尚無法計算的交互作用。

附 誌

我們現在所發現的在淬火硬化鋼中起作用的基本強化機理為：1) 馬氏體點陣為碳所固溶強化，2) 在構成馬氏體的基本強度和確定碳致強化作用比例系數方面精細結構的伴生作用，以及 3) 由擴散所控制的碳原子重新分布過程所引起的附加強化。

雖然我們曾費了很大的勁來防止第三個強化機理對另外兩個機理的基本性質的干擾，但是，正如我們早就提到的，在正常的淬到室溫的淬火硬化過程中都會出現碳化物的沉積，並無疑在隨後的時效過程中繼續沉積。按照圖 16，時效硬化狀態比純粹的固溶狀態的強度提高 25% 左右，因此，可以推論時效硬化畢竟比固溶強化更重要，但是下這樣的結論將是愚蠢的。在時效的初階段，析出的碳化物為 ϵ 相，此時馬氏體相中的含碳量僅降低到 0.25%，而從圖 16，我們看到 0.25% C 馬氏體的流變應力已達高碳水平所能達到的最大值的 90%，由此可以說明，在時效狀態下，固溶強化對強度的貢獻極為重要。

剩下來我們還需要考慮些什麼其他因素呢？這里，我們也許需要研究馬氏體尺寸的相對重要性。Schamtz 和 Zackay^[43] 早已指出，對這一參數的研究可通過系統地改變奧氏體晶粒的大小來實現。Grange^[44] 曾在差別非常大的晶粒尺寸範圍內，測量了 AISI 8650 鋼回火馬氏體的性質（回火溫度 205°F, 400°F，晶粒尺寸從 No. 5 到 No. 15，後者的直徑較前者小 32 倍），流變應力的相應提高為 50000 磅/吋²左右。但是，在鋼中通常所遇到的晶粒尺寸範圍內（晶粒直徑的變化只有 5 倍），晶粒大小對屈服強度的影響將是十分小的，所以，很清楚，它不是基本強化機理的主要方面。此外，冶金因素倒可能是對斷裂過程起作用的一個真正重要的因素，對此當然應予注意。

關於在奧氏體正要轉變為馬氏體前的機械加工（Ausforming）使屈服強度提高的原因，看來愈加不可能是由馬氏體片的細化所引起。Grange 和 Mit-

hell^[45] 曾觀察到，在范性形變了的奧氏體中，延伸了的晶粒反而使馬氏體片變得粗大，而且即使片的尺寸隨奧氏體晶粒橫截面的大小（指尺寸較小的那個截面）正比地減少，那末當沿板的厚度方向的形變度為 50% 時，其細化因子也只有 2；形變度 75% 時細化因子等於 4；形變度 80% 時細化因子等於 5。對於溫加工（Ausforming）強化更有意義的假設是：馬氏體承襲了畸變奧氏體內的缺陷，這些缺陷又提供了隨後時效過程中碳化物沉淀的高密度的生核位置，因此，就可能得到比一般淬火更加強烈的弥散強化效應。

一個特別生動的例子是如 Stephenson^[46] 所報導的馬氏體的應變時效*，這時，可用形變熱處理方法巧妙地控制碳化物的彌散度對強化的作用。如果把時效後（205°F, 400°F）的 AISI 4340 鋼的馬氏體形變 3%，然後再在 205°C 時效，則屈服強度從 228000 提高到 325000 磅/吋²，而抗拉強度從 284000 提高到 325000 磅/吋²。應變時效使鋼強度的顯著提高說明了碳化物的重新溶解和重新沉淀；因而得到了比普通時效更加細的彌散狀態^[46]。

最後，我們只能簡略地提一提合金元素的補充作用。如果撇開熟知的合金元素在提高淬透性方面的作用不談，合金元素也能通過時效時對碳化物沉淀過程的控制直接地影響鋼的強化。但如果合金元素不能提高鋼的最大強度的話，那末它的作用還主要在於使強度和韌性具有良好的配合來提高它的有用強度。當然，這方面的問題對高強度鋼的工藝利用是重要的，但這裡不能詳述了。

參考文獻

- [1] A. G. Sisco: Réaumur's Memoirs on Steel and Iron (A translation from the Original Printed in 1722) University of Chicago Press, Chicago, Illinois, 1956.
- [2] A. Sauveur: Metallurgical Reminiscences, AIME Maple Press Co., York, Pa, 1937.
- [3] H. M. Howe: The Metallurgy of Steel, The Scientific Publishing Co., New York & London 1890.
- [4] F. Osmond: On the Critical Points of Iron & Steel. JISI. 1890, No. 1, p. 38.
- [5] H. M. Howe: The Hardening of Steel, JISI 1895 Vol. 48 No. II, p. 258.

* 即使“馬氏體應變時效”的強化機理可能和“鐵素體應變時效”的強化機理在類型和程度上有所不同，但“馬氏體應變時效”這個詞仍與“鐵素體應變時效”相似

- [6] F. Osmond: Méthode générale pour l'analyse micrographique des aciers au carbone, Bull. Soc. d'Encouragement pour l'Industrie Nationale 1895, Vol. 10, p. 480; F. Osmond & J. E. Stead: Microscopic Analysis of Metals, Charles Griffin & Co. London, 1901.
- [7] H. M. Howe & A. Sauveur: Further Notes on the Hardening of Steel JISI 1896, Vol. 49, No. 1, p. 170.
- [8] A. Sauveur: The microstructure of Steel & The Current theories of Hardening, AIME Trans. 1896, Vol. 26, p. 863.
- [9] H. M. Howe: Iron Steel & Other Alloys, Published by Albert Sauveur, Cambridge, Mass.: 1st Ed. 1903; 2nd Ed. 1906.
- [10] H. M. Howe: Metallography of Steel & Cast Iron, McGraw-Hill Book Co. New York, 1916.
- [11] A. Sauveur: The Current Theories of the Hardening of Steel Thirty Years Later. AIME Trans. 1926, Vol. 70, p. 859.
- [12] B. A. Bilby & J. W. Christian: The Mechanism of Phase Transformations in metals, Institute of Metals Monograph & Report Series No. 18, p. 121, 1955.
- [13] L. Kaufman & M. Cohen: Thermodynamics & Kinetics of Martensitic Transformations, Progress in Metal Physics 1958, Vol. 7, p. 165.
- [14] R. F. Bunshah & R. F. Mehl: Rate of Propagation of Martensite, AIME Trans. 1953, Vol. 197, p. 1251.
- [15] M. Cohen: Nucleation of Solid-State Transformations, AIME Trans. 1958, Vol. 212, p. 171.
- [16] P. M. Kelley & J. Nutting: The Morphology of Martensite. J. Iron & Steel Inst. 1961, Vol. 197, p. 199.
- [17] C. S. Roberts: Effect of Carbon on the volume Fractions & Lattice Parameters of Retained Austenite & Martensite, AIME Trans. 1953, Vol. 197, p. 203.
- [17a] E. S. Kaminsky & M. D. Perkas: Problemy metalloveniga i fiziki metallov 1949, Vol. 1, p. 211. 俄原文. И. С. Каминский и М. Д. Перкас: Проблемы Металл. и Физ. Металлов. том 1(1949), 211. (——譯者注)
- [18] P. G. Winchell & M. Cohen: The Strength of Martensite, Submitted to Trans. ASM. 1962.
- [19] H. Lipson & A. M. B. Perker: Structure of Martensite, J. Iron Steel Inst. 1944, Vol. 149, p. 123.
- [20] Г. В. Курдюмов: J. Phenomena Occurring in the Quenching & Tempering of Steels, J. Iron Steel Inst. 1960, Vol. 195, p. 26.
- [21] M. P. Arbusov: Doklady Akad. Nauk Vol. 90, p. 375. (原文) М. П. Арбусов. Доклады Акад. Наук. СССР том 90 (1953) p. 375. (——譯者注)
- [22] P. Stark, B. L. Averbach, & M. Cohen: Internal Friction Measurements on Tempered Martensite, Acta Met. 1956, Vol. 4, p. 91.
- [23] J. L. Burns: Classification of Alpha Iron-Nitrogen & Alpha Iron-Carbon as Age-hardening Alloys, AIME Trans. 1934, Vol. 113, p. 239.
- [24] M. Richman: Private Communication.
- [25] H. Warlimont: Private Communication.
- [26] F. E. Werner, B. L. Averbach, & M. Cohen: The Tempering of Iron-Carbon Martensite Crystals, Trans. ASM 1957, Vol. 49, p. 823.
- [27] M. P. Arbusov (M. П. Арбусов): (Доклад Акад. Наук.) 1950, том 74, p. 1085. (——譯者注)
- [28] E. C. Bain & H. W. Paxton: Alloying Elements in Steel. ASM, Metals Park, Ohio, 2nd Ed. p. 37, 1961.
- [29] G. Krauss, Private Communication.
- [30] C. S. Roberts, B. L. Averbach, & M. Cohen: The Mechanism & Kinetics of the First Stage of Tempering, Trans. ASM. 1953, Vol. 45, p. 576.
- [31] H. W. King & F. G. Glover: Resistometric Study of the First Stage of Tempering. J. Iron Steel Inst. 1959, Vol. 193, p. 123.
- [32] M. Hillert: The Kinetics of the First Stage of Tempering, Acta Met., 1959, Vol. 7, p. 653.
- [33] H. M. Howe, The Heat-Treatment of Steel, Trans. AIME, 1893, Vol. 23, p. 522.
- [34] P. G. Winchell: The Structure & Mechanical Properties of Iron-Nickel Carbon Martensites, Sc. D. Thesis MIT. 1958.
- [35] V. K. Krizkaja, N. M. Nodia & Yu. A. Osiyan: Fiz. Met. 1958, Vol. 6, p. 177. 俄原文: В. К. Крицкая, Н. М. Нодия и Ю. А. Осилян: физ. мет. 1958, том. 6, p. 177. (——譯者注)
- [36] P. A. Flinn: Private Communication.
- [37] E. R. Parker & T. H. Hazlett: Principles of Solution Hardening, Relation of Properties to Microstructure, ASM Cleveland, Ohio, p. 30. 1954.
- [38] J. C. Fisher: Elastic Interaction of Interstitial Atoms in Body Centered Cubic Crystals Acta. Met. 1958, Vol. 6, p. 13.
- [39] N. F. Mott & F. R. Nabarro: Dislocation Theory & Transient Creep, Conf. on Strength of Solids, University of Bristol, Physical Society, London, p. 1, 1948., See also N. F. Mott:

(下接第 54 頁)